

ментов ионов  $\mu_i^a$ , находящихся в узле  $r_i$  подрешётки  $a$ :

$$\mu_i^a(r_i, t) = \mu_0^a + m^a e^{(i\omega t - kr_i)}. \quad (10)$$

На рис. 5 схематически показана картина прецессии магн. моментов при распространении спиновой волны в легкоосном двухподрешёточном АФМ. На языке квантовой механики спиновая волна — это *квазичастица (магон)*, обладающая энергией  $E = \hbar\omega$  и квазимоментом  $p = \hbar k$ , где  $k$  — волновой вектор.

Приложение теории спиновых волн к АФМ состоит в определении энергии  $\epsilon_0$  оси состояния АФМ (при

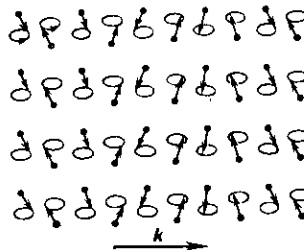


Рис. 5. Схема прецессии магнитных моментов атомов двухподрешёточного легкоосного антиферромагнетика при распространении в последнем спиновой волны с волновым вектором  $k$  (в действительности растворы конусов прецессии для двух подрешёток несколько отличаются, см. *Антиферромагнитный резонанс*).

$T=0$  К) и закона дисперсии (спектра) спиновых волн, т. е. зависимости их энергии (частоты  $\omega$ ) от импульса (волнового вектора  $k$ ). Из закона дисперсии можно методами статистич. физики определить термодинамич. и кинетич. свойства АФМ. В микроскопич. теории спиновых волн рассматривается взаимодействие спиновых моментов магн. ионов друг с другом и с внеш. полем. Соответственно гамильтониан  $\mathcal{H}$  в простейшем случае одноосного АФМ и взаимодействия магн. иона с ближайшими к нему ионами может быть записан в след. виде:

$$\mathcal{H} = J \sum_{j, \delta} S_j^a S_{j+\delta}^b - g \mu_B H_A \left( \sum_j S_{jz}^a - \sum_j S_{jz}^b \right) - g \mu_B H \left( \sum_j S_{jz}^a + \sum_j S_{jz}^b \right), \quad (11)$$

где  $S_j^a, S_j^b$  — операторы спинов магн. ионов двух ( $a$  и  $b$ ) подрешёток соответственно,  $j = 1, 2, \dots, N/2$  ( $N$  — общее число магн. ионов), индекс  $\delta = 1, 2, \dots, z$  пробегает номера ближайших соседей  $j$ -го иона (предполагается, что все они принадлежат др. подрешётке),  $J$  — обменный интеграл,  $g$  — Ланде множитель,  $\mu_B$  — магнетон Бора. Второй член описывает энергию анизотронии для подрешёток  $a$  и  $b$ , третий — магн. энергию во внеш. поле  $H$ , направленном вдоль оси  $z$ . Приведение гамильтониана к диагональному виду в представлении чисел заполнения  $n_k$  (см. *Вторичное квантование*), т. е.

$$\mathcal{H} = \epsilon_0 + \sum_k (n_k + 1/2) \hbar \omega_k, \quad (12)$$

позволяет получить выражения для энергии оси состояния  $\epsilon_0$  и для спектра спиновых волн  $\omega(k)$ .

Нахождение энергии оси состояния АФМ в квантовой теории спиновых волн встречается с трудностью, не существующей в теории *ферромагнетизма*. Состояние идеального антиферромагн. порядка в кристаллич. решётке, т. е. наличие двух подрешёток с номинальной намагниченностью, равной  $\mu N/2$ , не соответствует минимуму энергии системы и не является собственным для гамильтониана (11). Оценка показывает, что намагниченность подрешёток может быть меньше  $\mu N/2$  на 5–10%.

Для закона дисперсии (спектра) спиновых волн получаем

$$\hbar \omega_{k,1,2} = g \mu_B H_E [(1 + H_A/H_E)^2 - \Gamma_k^2]^{1/2} \pm g \mu_B H, \quad (13, a)$$

$$\text{где } H_E = 2JSz/\gamma, \quad \Gamma_k = \frac{1}{z} \sum_a \frac{i\hbar a}{a}, \quad \gamma = -g\mu_B/\hbar. \quad (13, b)$$

Здесь  $z$  — число ионов — ближайших соседей,  $a$  — их радиус-вектор,  $k$  — волновой вектор спиновой волны.

Для малых  $k$  ф-лы (13) сильно упрощаются и закон дисперсии имеет вид:

$$\omega = [\gamma^2 H_A (2H_E + H_A) + \omega_E^2 (ak)^2]^{1/2} \pm \gamma H, \quad (14)$$

где  $\omega_E = p\gamma H_E$  ( $p$  — численный коэф.  $\sim 1$ , зависящий от типа кристаллич. решётки).

При возбуждении спиновой волны в легкоосном АФМ атомные магн. моменты начинают прецессировать вдоль оси лёгкого намагничивания. Фаза прецессии в каждом соседнем атомном слое, перпендикулярном вектору  $k$ , сдвинута на угол  $\phi = kd$  ( $d$  — расстояние между атомными слоями). Схематически это изображено на рис. 5. Однако растворы конусов прецессии очень малы и различаются для разных подрешёток. В случае АФМ др. симметрии движение атомных магн. моментов в спиновой волне может быть более сложным и их часто удобней описывать колебаниями компонентов векторов  $L$  и  $M$ .

Закон дисперсии (14) — исключение. Для большинства АФМ для  $i$ -ой электронной ветви

$$\omega_{ek}^2 = \omega_{e0}^2 + \omega_E^2 (ak)^2, \quad (15)$$

где частота однородных колебаний  $\omega_{e0}$  с  $k=0$  является ф-цией  $H_A, H_F$  и  $H$ . Индекс  $i$  соответствует номеру ветви спиновых волн. В общем случае число ветвей равно числу подрешёток. Всегда существуют две т. н. *релятивистические ветви*, для к-рых  $\omega_{e0i}=0$  при  $H_A=0$  и  $H=0$ . При  $\omega_{e0}=0$

$$\omega_{ek} = \omega_E (ak). \quad (16)$$

Т. о., закон дисперсии для спиновых волн в АФМ имеет линейный характер, как у фононов (в отличие от квадратичного у ферромагнетиков). Конкретные ф-лы для  $\omega_{e0i}$  в случае релятивистических ветвей приведены в ст. *Антиферромагнитный резонанс*. Все остальные ветви — «обменные» с  $\omega_{e0i} \sim \omega_E$ .

Вследствие линейного закона дисперсии законы для температурной зависимости магн. частиц теплоёмкости  $c_M$  и намагниченности  $M_0$  подрешёток имеют вид:

$$c_M = \frac{8\pi^2 R}{15} \left( \frac{kT}{\hbar\omega_E} \right)^3, \quad M_0(0) - M_0(T) = \frac{g^2 \mu_B^2 H_E}{6a^3 \hbar \omega_E} \left( \frac{kT}{\hbar\omega_E} \right)^2 \quad (17)$$

( $R$  — универсальная газовая постоянная), и качественно отличаются от соответствующих зависимостей ферри- и ферромагнетиков.

При  $kT < \hbar\omega_{e0}$  обе эти величины изменяются по экспоненциальному закону  $\sim \exp(-\hbar\omega_{e0}/kT)$ .

Для эксперим. изучения температурной зависимости намагниченности подрешёток пользуются методами

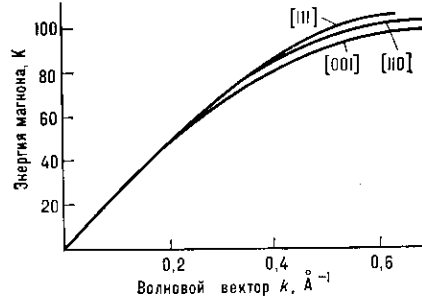


Рис. 6. Закон дисперсии (спектр) спиновых волн в антиферромагнетике  $\text{RbMnF}_3$ , определенный методом неупругого рассеяния нейтронов.

магн. нейтронографии, измеряют частоты *ядерного магнитного резонанса* (ЯМР). Величина щели в спектре спиновых волн определяется методом антиферромагн. резонанса. Наиб. полную информацию о законе дисперсии спиновых волн в широкой области значений волнового вектора  $k$  даёт метод неупругого рассеяния нейтронов (рис. 6). Расшифровка подобных спектров поз-